

**РАСПРЕДЕЛЕНИЕ ТОКА В ПЛОСКОМ  
МАГНИТОГИДРОДИНАМИЧЕСКОМ КАНАЛЕ ПРИ ДВИЖЕНИИ  
ЭЛЕКТРОПРОВОДНОЙ СРЕДЫ В СИЛЬНОМ МАГНИТНОМ ПОЛЕ**

**Ю. П. Емец**

(Киев)

В сильном магнитном поле, помимо электронов, ларморовское вращение приобретают ионы. Электрическое поле в канале и его интегральные характеристики в этом случае зависят как от геометрии канала и величины внешнего магнитного поля, так и от физического состояния и химического состава движущейся среды. При этом имеют место явления, наблюдаемые в канале и при учете только спирального пробега электронов (концентрация тока на концевых участках электродов, искривление линий тока в средней зоне канала и др.).

Однако наличие «скольжения» ионов более существенным образом сказывается на интегральных характеристиках каналов. Так, например, мощность магнитогидродинамического генератора в сильном магнитном поле становится постоянной и остается такой при дальнейшем возрастании поля. Это свойство преобразователя энергии объясняется тем, что внутреннее сопротивление генератора принимает квадратичную зависимость от магнитного поля.

Со «скольжением» ионов связано и другое важное явление. В сильном магнитном поле холловская электродвижущая сила исчезает, электропроводность среды вместо тензорной становится скалярной, а картина распределения тока в канале принимает такой же вид, как и в случае отсутствия ларморовского вращения электронов. Под электропроводностью среды при этом подразумевается ее эффективное значение, зависящее от магнитного поля.

В работе нахождение распределения тока в канале приводится к решению краевой задачи в специальном классе периодических функций, для чего привлекается теория краевых задач в классе автоморфных функций.

§ 1. При решении задачи будем предполагать, что магнитное число Рейнольдса  $R_m$  значительно меньше единицы, так что индуцированное магнитное поле не учитывается. Внешнее же магнитное поле  $\mathbf{H}(0, 0, H_z)$  в канале  $-\infty < x < \infty, 0 \leq y \leq h$  магнитогидродинамического генератора с симметрично расположенными электродами (фиг. 1) принято однородным и направленным нормально потоку среды  $\mathbf{v}(u(x, y), v(x, y), 0)$ .

В сильном магнитном поле закон Ома записывается в виде [1]

$$\mathbf{j} = \sigma \left( -\nabla \varphi + \frac{1}{c} \mathbf{v} \times \mathbf{H} \right) - \frac{\omega_e \tau_e}{H} \mathbf{j} \times \mathbf{H} + \frac{\omega_e \tau_e \omega_i \tau_i}{H^2} (\mathbf{j} \times \mathbf{H}) \times \mathbf{H} \quad (1.1)$$

$(H = |\mathbf{H}|)$

Здесь  $\mathbf{j}$  — вектор плотности тока,  $\varphi(x, y)$  — электростатический потенциал,  $\mathbf{H}$  — вектор напряженности магнитного поля,  $\sigma$  — электропроводность среды в канале,  $\omega_e$  и  $\omega_i$  — циклотронные частоты электронов и ионов соответственно,  $\tau_e^{-1}$  и  $\tau_i^{-1}$  — эффективные частоты столкновений электронов и ионов,  $\sigma, \omega_e \tau_e$  и  $\omega_i \tau_i$  — константы.

Проектируя (1.1) на координатные оси и разрешая полученную систему уравнений относительно компонент тока  $j_x$  и  $j_y$ , после преобразований получаем

$$j_x(x, y) = \frac{\sigma(1 + \omega_e \tau_e \omega_i \tau_i)}{(1 + \omega_e \tau_e \omega_i \tau_i)^2 + \omega_e^2 \tau_e^2} \left[ -\frac{\partial \varphi}{\partial x} + \frac{1}{c} v H + \frac{\omega_i \tau_e}{1 + \omega_e \tau_e \omega_i \tau_i} \left( \frac{\partial \varphi}{\partial y} + \frac{1}{c} u H \right) \right] \\ j_y(x, y) = \frac{\sigma(1 + \omega_e \tau_e \omega_i \tau_i)}{(1 + \omega_e \tau_e \omega_i \tau_i)^2 + \omega_e^2 \tau_e^2} \left[ -\frac{\partial \varphi}{\partial y} - \frac{1}{c} u H + \frac{\omega_e \tau_e}{1 + \omega_e \tau_e \omega_i \tau_i} \left( -\frac{\partial \varphi}{\partial x} + \frac{1}{c} v H \right) \right] \quad (1.2)$$

При указанных предположениях из рассмотрения уравнений (1.2) совместно с условием неразрывности тока

$$\partial j_x / \partial x + \partial j_y / \partial y = 0 \quad (1.3)$$

и представлением скорости в виде

$$u = \partial \psi / \partial y, \quad v = -\partial \psi / \partial x \quad (1.4)$$

получаем гармоническую функцию

$$\Delta \chi(x, y) = \Delta \left( \varphi + \frac{1}{c} \psi H \right) = 0 \quad (\Delta = \frac{\partial^2}{\partial x^2} + \frac{\partial^2}{\partial y^2}) \quad (1.5)$$

Представление скорости в виде (1.4) всегда справедливо, когда среду в канале можно считать несжимаемой ( $\operatorname{div} \mathbf{v} = 0$  и тогда  $\psi(x, y)$  — функция тока), или когда течение прямолинейное  $\mathbf{v}$  ( $u(y), 0, 0$ ), тогда

$$\psi(y) = \int_0^y u(y) dy$$

Компоненты вектора плотности электрического тока  $j_x$  и  $j_y$  выражаются через функцию  $\chi(x, y)$

$$\begin{aligned} j_x(x, y) &= \frac{\sigma(1 + \omega_e \tau_e \omega_i \tau_i)}{(1 + \omega_e \tau_e \omega_i \tau_i)^2 + \omega_e^2 \tau_e^2} \left( -\frac{\partial \chi}{\partial x} + \frac{\omega_e \tau_e}{1 + \omega_e \tau_e \omega_i \tau_i} \frac{\partial \chi}{\partial y} \right) \\ j_y(x, y) &= \frac{\sigma(1 + \omega_e \tau_e \omega_i \tau_i)}{(1 + \omega_e \tau_e \omega_i \tau_i)^2 + \omega_e^2 \tau_e^2} \left( -\frac{\partial \chi}{\partial y} - \frac{\omega_e \tau_e}{1 + \omega_e \tau_e \omega_i \tau_i} \frac{\partial \chi}{\partial x} \right) \end{aligned} \quad (1.6)$$

Поэтому задача о нахождении тока в канале приводится к определению функции  $\chi(x, y)$ .

Сформулируем граничные условия. Стенки канала будем считать непроницаемыми и выполненными из совершенных материалов (идеально проводящих электродов и идеальных изоляторов). На непроводящих стенах нормальная компонента тока равна нулю, на проводящих — равна нулю касательная компонента напряженности электрического поля; кроме того, на непроницаемых и неподвижных стенах канала выполняется гидродинамическое условие  $\mathbf{v} = 0$ . Итак,

на изоляторах

$$j_y = 0 \quad \text{или} \quad \frac{\partial \chi}{\partial y} + \frac{\omega_e \tau_e}{1 + \omega_e \tau_e \omega_i \tau_i} \frac{\partial \chi}{\partial x} = 0 \quad (1.7)$$

на электродах

$$\mathbf{v} = 0, \quad \partial \varphi / \partial x = 0 \quad \text{или} \quad \partial \chi / \partial x = 0 \quad (1.8)$$

на бесконечности

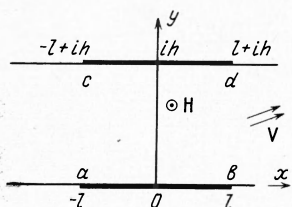
$$\mathbf{j} = 0 \quad (1.9)$$

Ниже для решения задачи (1.5), (1.7) — (1.9) привлекается теория краевой задачи Римана для автоморфных функций.

Введем в рассмотрение аналитическую в полосе  $0 \leq \operatorname{Im} z \leq h$  функцию

$$W(z) = U(x, y) + iV(x, y) = \partial \chi / \partial x - i \partial \chi / \partial y \quad (z = x + iy) \quad (1.10)$$

при помощи которой исходная задача наклонной производной приводится к краевой задаче Римана — Гильберта с разрывными коэффициентами для полосы.



Фиг. 1

Произведем замену переменных

$$\zeta = \pi z/h \quad (z = x + iy, \quad \zeta = \xi + i\eta) \quad (1.11)$$

где  $h$  — ширина канала. При помощи подстановки (1.11) изменяется геометрический масштаб в плоскости комплексного переменного и в результате получаем полосу шириной  $\pi$ . Концевые точки электродов  $a, b, c$  и  $d$  переходят соответственно в точки с координатами

$$A = -\pi l/h, B = \pi l/h, \quad C = -\pi l/h + i\pi, \quad D = \pi l/h + i\pi \quad (1.12)$$

Для функции

$$W_1(\zeta) = W(z) = U_1(\xi, \eta) + iV_1(\xi, \eta) \quad (1.13)$$

из граничных условий (1.7) — (1.9) получаем следующую задачу Римана — Гильберта в полосе  $0 \leqslant \operatorname{Im} \zeta \leqslant \pi$  (нижние индексы в дальнейшем опущены):

$$\begin{aligned} U(t) &= 0 \quad \text{на } L', \quad V(t) = \frac{\omega_e \tau_e}{1 + \omega_e \tau_e \omega_i \tau_i} U(t) = 0 \quad \text{на } L'' \\ W_1(\zeta) &\rightarrow 0 \quad \text{при } |\zeta| \rightarrow \infty \end{aligned} \quad (1.14)$$

Здесь через  $L'$  обозначены отрезки  $AB$  и  $CD$ , а через  $L''$  — осталльная часть прямых  $\eta = 0$  и  $\eta = \pi$ ; за положительное направление обхода полосы принимается такое, при котором внутренность полосы  $0 < \operatorname{Im} \zeta < \pi$  остается все время слева.

Задача (1.14) редуцируется к краевой задаче Римана для однопериодических функций с периодом  $2\pi$ . Последняя представляет собой частный случай краевой задачи Римана для автоморфных функций [2, 3].

Способ составления краевой задачи Римана включает введение функции  $\bar{W}(\bar{\zeta})$ , которая комплексно сопряжена с функцией  $W(\bar{\zeta})$  в точках, сопряженных  $\bar{\zeta}$ . Полоса  $-\pi \leqslant \operatorname{Im} \zeta \leqslant \pi$  считается фундаментальной областью нулевого рода однопериодической группы, порожденной преобразованием  $\mu_k(\zeta) = \zeta + 2\pi ik$ . Основным простым инвариантом группы будет функция  $\exp \zeta$ , которая ограничена на левом конце полосы и имеет полюс первого порядка на другом конце полосы.

Задача Римана, соответствующая задаче Римана — Гильберта (1.14), имеет вид

$$\begin{aligned} \Psi^+(t) &= -\Psi^-(t) \quad \text{на } L' \quad (t \in L' + L'') \\ \Psi^+(t) &= \frac{1 + \omega_e \tau_e \omega_i \tau_i + i\omega_e \tau_e}{1 + \omega_e \tau_e \omega_i \tau_i - i\omega_e \tau_e} \Psi^-(t) \quad \text{на } L'' \\ \Psi(\zeta) &= \begin{cases} \Psi^+(\zeta) & \text{при } 0 < \operatorname{Im} \zeta < \pi, \\ \Psi^-(\zeta) & \text{при } -\pi < \operatorname{Im} \zeta < 0, \end{cases} \quad \begin{cases} \Psi^+(\zeta) = W(\zeta) \\ \Psi^-(\zeta) = \bar{W}(\bar{\zeta}) \end{cases} \\ \lim \Psi(\zeta) &= 0 \quad \text{при } |\zeta| \rightarrow \infty \end{aligned} \quad (1.15)$$

Решение задачи (1.15), в соответствии с физическими условиями о концентрации тока возле концов электродов, строим в классе функций с интегрируемыми особенностями в точках  $A, B, C$  и  $D$  и ограниченных на концах полосы

$$\bar{W}(\zeta) = (-1)^{\varepsilon} C_1 e^{\zeta} [(e^{\zeta} - e^A)(e^{\zeta} - e^D)]^{-1/2+\varepsilon} [(e^{\zeta} - e^B)(e^{\zeta} - e^C)]^{-1/2-\varepsilon} \quad (1.16)$$

$$\varepsilon = \frac{1}{\pi} \operatorname{arctg} \frac{\omega_e \tau_e}{i + \omega_e \tau_e \omega_i \tau_i} \quad \left( 0 \leqslant \varepsilon < \frac{1}{2} \right) \quad (1.17)$$

где  $C_1$  — действительная постоянная, значение которой будет определено ниже. Под  $\Psi(\zeta)$  подразумевается ветвь, для которой справедливо

$$\lim \Psi(\zeta) e^{\zeta} = (-1)^{\varepsilon} C_1 \quad \text{при } |\zeta| \rightarrow \infty \quad (1.18)$$

Переписывая закон Ома в комплексной форме

$$j(z) = j_x(x, y) - ij_y(x, y) = \frac{-\sigma}{1 + \omega_e \tau_e \omega_i \tau_i + i \omega_e \tau_e} \left( \frac{\partial \chi}{\partial x} - i \frac{\partial \chi}{\partial y} \right) \quad (1.19)$$

и рассматривая совместно формулы (1.10), (1.15) — (1.19), находим искомое распределение тока в плоском канале

$$\begin{aligned} j(z) = j_x(x, y) - ij_y(x, y) &= \frac{-C_1 \sigma (-1)^\varepsilon}{1 + \omega_e \tau_e \omega_i \tau_i + i \omega_e \tau_e} \exp \frac{\pi z}{h} \times \\ &\times \left[ \left( \exp \frac{\pi z}{h} - \exp -\frac{\pi l}{h} \right) \left( \exp \frac{\pi z}{h} + \exp \frac{\pi l}{h} \right) \right]^{-1/2+\varepsilon} \times \\ &\times \left[ \left( \exp \frac{\pi z}{h} - \exp \frac{\pi l}{h} \right) \left( \exp \frac{\pi z}{h} + \exp -\frac{\pi l}{h} \right) \right]^{-1/2-\varepsilon} \end{aligned} \quad (1.20)$$

Полученные формулы позволяют вычислить интегральные характеристики генератора.

Суммарный ток  $I$ , протекающий в нагрузке генератора, определяется по формуле

$$I = s \int_a^b j_y(x) dx = \frac{C_1 s \sigma (1 + \omega_e \tau_e \omega_i \tau_i) \Delta_1(l, h, \varepsilon)}{(1 + \omega_e \tau_e \omega_i \tau_i)^2 + \omega_e^2 \tau_e^2} \quad (1.21)$$

$$\Delta_1(l, h, \varepsilon) = \int_{-\pi l/h}^{\pi l/h} [(e^x - e^{-\pi l/h})(e^x + e^{\pi l/h})]^{-1/2+\varepsilon} [(e^{\pi l/h} - e^x)(e^x + e^{-\pi l/h})]^{-1/2-\varepsilon} e^x dx \quad (1.22)$$

где  $s$  — ширина электродов (высота канала).

Внутреннее падение напряжения между электродами находится из формул

$$\begin{aligned} \left( \int_{-\infty}^a + \int_b^{\infty} \right) \left( \frac{\partial \Phi}{\partial x} + \frac{1}{c} H \frac{\partial \Psi}{\partial x} \right)_{y=0} dx &= \mathcal{E} - 2\varphi_e, \\ \mathcal{E} &= \frac{1}{c} H \left( \int_{-\infty}^a + \int_b^{\infty} \right) \left( \frac{\partial \Psi}{\partial x} \right)_{y=0} dx \end{aligned} \quad (1.23)$$

Здесь  $\mathcal{E}$  — электродвижущая сила,  $2\varphi_e$  — напряжение между электродами.

Первое соотношение (1.23), если использовать формулу (1.20), приводится к виду

$$\mathcal{E} - 2\varphi_e = C_1 (1 + \omega_e \tau_e \omega_i \tau_i) [\Delta_2(l, h, \varepsilon) + \Delta_3(l, h, \varepsilon)] [(1 + \omega_e \tau_e \omega_i \tau_i)^2 + \omega_e^2 \tau_e^2]^{-1/2} \quad (1.24)$$

$$\begin{aligned} \Delta_2(l, h, \varepsilon) &= \int_{\pi l/h}^{\infty} [(e^x - e^{-\pi l/h})(e^x + e^{\pi l/h})]^{-1/2+\varepsilon} [(e^x - e^{\pi l/h}) \times \\ &\times (e^x + e^{-\pi l/h})]^{-1/2-\varepsilon} e^x dx \quad (x \geq \pi l/h) \end{aligned} \quad (1.25)$$

$$\begin{aligned} \Delta_3(l, h, \varepsilon) &= \int_{-\infty}^{-\pi l/h} [(e^{-\pi l/h} - e^x)(e^x + e^{\pi l/h})]^{-1/2+\varepsilon} [(e^{\pi l/h} - e^x) \times \\ &\times (e^x + e^{-\pi l/h})]^{-1/2-\varepsilon} e^x dx \quad (x \leq -\pi l/h) \end{aligned}$$

Значение постоянной  $C_1$  получаем из уравнения

$$\mathcal{E} - 2\varphi_e = I\Omega_b, \quad \text{или} \quad \mathcal{E} - I\Omega_n = I\Omega_b \quad (1.26)$$

Здесь  $\Omega_b$  — внутреннее сопротивление генератора, а  $\Omega_n$  — нагрузка генератора. Подставляя в (1.26) значение тока  $I$ , определяемое формулой (1.21), находим

$$C_1 = \frac{\mathcal{E} [(1 + \omega_e \tau_e \omega_i \tau_i)^2 + \omega_e^2 \tau_e^2]}{\sigma s \Delta_1(l, h, \varepsilon) (1 + \omega_e \tau_e \omega_i \tau_i) (\Omega_b + \Omega_n)} \quad (1.27)$$

Внутреннее сопротивление генератора дается формулой

$$\Omega_b = \frac{\mathcal{E} - 2\varphi_e}{I} = \frac{\Delta_2(l, h, \varepsilon) + \Delta_3(l, h, \varepsilon)}{\sigma s \Delta_1(l, h, \varepsilon)} [(1 + \omega_e \tau_e \omega_i \tau_i)^2 + \omega_e^2 \tau_e^2]^{1/2} \quad (1.28)$$

После нахождения постоянной  $C_1$  и внутреннего сопротивления  $\Omega_b$  легко вычисляются другие интегральные характеристики генератора [4-6]: электрическая мощность  $N = 2\varphi_e I$  и джоулема диссипация в канале  $Q = I\mathcal{E} - N$ . Последним формулам можно придать простой и наглядный вид, если ввести параметр нагрузки

$$q = \frac{2\varphi_e}{\mathcal{E}} = \frac{\Omega_n}{\Omega_n + \Omega_b} \quad (0 \leq q \leq 1) \quad (1.29)$$

Тогда получаем

$$I = (1 - q) \frac{\mathcal{E}}{\Omega_b}, \quad N = q (1 - q) \frac{\mathcal{E}^2}{\Omega_b}, \quad Q = (1 - q)^2 \frac{\mathcal{E}^2}{\Omega_b} \quad (1.30)$$

**§ 2.** Электрические характеристики магнитогидродинамического генератора, как видно, в основном определяются значением внутреннего сопротивления  $\Omega_b$  (при фиксированных  $\mathcal{E}$  и  $q$ ). В общем случае  $\Omega_b$ , согласно (1.28), зависит от геометрических размеров генератора ( $l, h$  и  $s$ ), физических свойств проводящей среды в канале и величины внешнего магнитного поля  $H$ . Теоретически  $\Omega_b$  может изменяться от нуля до бесконечности, и соответственно изменятся характеристики генератора.

Как отмечалось выше, краевую задачу (1.5), (1.7)–(1.9) можно решить и другими методами. Например, путем отображения полосы сначала на полуплоскость, а затем при помощи интеграла Шварца — Кристоффеля на внутренность параллелограмма [4-8]. Более того, если ввести эффективную проводимость  $\sigma_*$  и эффективный параметр Холла  $\omega_* \tau_*$  по формулам

$$\sigma_* = \frac{\sigma}{1 + \omega_e \tau_e \omega_i \tau_i}, \quad \omega_* \tau_* = \frac{\omega_e \tau_e}{1 + \omega_e \tau_e \omega_i \tau_i} \quad (2.1)$$

и внести их в исходные уравнения (1.6) и граничные условия (1.7), то получим краевую задачу, решенную в работах [4, 6, 8]. Это обстоятельство позволяет воспользоваться результатами указанных работ для анализа характеристик магнитогидродинамических преобразователей энергии при наличии в них «скольжения» ионов.

Для нахождения внутреннего сопротивления генератора удобно применять приближенные формулы. Одна из таких формул может быть получена из (1.28) путем вычисления несобственных интегралов (1.22) и (1.25) по методу выделения особенностей

$$\begin{aligned} \Omega_b &= \frac{1}{\sigma s} [(1 + \gamma \omega_e^2 \tau_e^2)^2 + \omega_e^2 \tau_e^2]^{1/2} \left[ 1 + \frac{1 - 2\varepsilon}{1 + 2\varepsilon} \left( 2 \operatorname{th} \frac{\pi l}{h} \right)^{-2\varepsilon} \right] \times \\ &\times \left[ \left( 1 - \exp - \frac{\pi l}{h} \right)^{1/2-\varepsilon} + \frac{1 - 2\varepsilon}{1 + 2\varepsilon} \left( 2 \operatorname{th} \frac{\pi l}{h} \right)^{-2\varepsilon} \left( \exp \frac{\pi l}{h} - 1 \right)^{1/2+\varepsilon} \right]^{-1} \quad (2.2) \\ \varepsilon &= \frac{1}{\pi} \arctg \operatorname{tg} \frac{\omega_e \tau_e}{1 + \gamma \omega_e^2 \tau_e^2} \quad \left( 0 \leq \varepsilon < \frac{1}{2} \right), \quad \gamma = \frac{\omega_i \tau_i}{\omega_e \tau_e} \end{aligned}$$

Значение коэффициента  $\gamma$  определяется химическим составом проводящей среды и ее физическим состоянием. В наиболее интересных для практики случаях  $\gamma$  изменяется в пределах

$$\gamma = \omega_i \tau_i / \omega_e \tau_e \approx 10^{-1} \div 10^{-4}$$

Если  $\omega_e \tau_e = 0$ , то выражение (2.2) приводится к виду

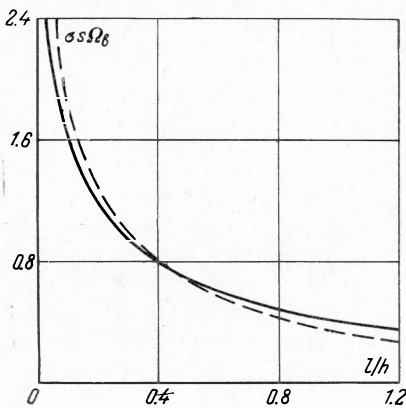
$$\Omega_b = \frac{1}{\sigma s} \frac{2 \exp(-\pi l/2h)}{[1 + \exp(-\pi l/h)] [1 - \exp(-\pi l/h)]^{1/2}} \quad (2.3)$$

Точное же выражение, которое соответствует этому случаю, согласно (1.28), таково:

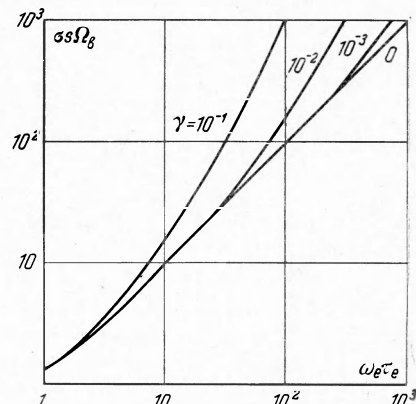
$$\Omega_b = \frac{1}{\sigma s} \frac{\Delta_2(l, h) + \Delta_3(l, h)}{\Delta_1(l, h)} = \frac{2}{\sigma s} \frac{K(k)}{K(k')} \quad \left( \begin{array}{l} k = \exp(-2\pi l/h) \\ k' = \sqrt{1 - k^2} \end{array} \right) \quad (2.4)$$

где  $K(k)$  — эллиптический интеграл первого рода.

На фиг. 2 построены кривые  $\sigma s \Omega_b$ , которые иллюстрируют зависимость внутреннего сопротивления генератора от линейных размеров канала.



Фиг. 2



Фиг. 3

Сплошная кривая соответствует точной формуле (2.4), а пунктирная — приближенной (2.3). Приближенные выражения (2.2), (2.3) можно применять для средних значений  $l/h$ .

В одном случае, когда выполняется соотношение

$$\operatorname{sh}(\pi l/h) = 1, \quad l/h \approx 0.28 \quad (2.5)$$

интегралы  $\Delta_i$  ( $i = 1, 2, 3$ ) в формуле (1.28) приводятся к бета-функциям, и выражение для внутреннего сопротивления принимает весьма простой вид

$$\Omega_b = \frac{1}{\sigma s} [(1 + \gamma \omega_e^2 \tau_e^2)^2 + \omega_e^2 \tau_e^2]^{1/2} \quad (2.6)$$

Этот случай наглядно показывает, что при наличии спирального пробега ионов значение  $\Omega_b$  увеличивается с ростом параметра  $\omega_e \tau_e$  и в тем большей степени, чем большие значения принимает коэффициент  $\gamma$  (фиг. 3).

Когда  $\omega_i \tau_i = 0$  и  $\omega_e \tau_e \gg 1$ , то  $\Omega_b$  почти линейно зависит от параметра  $\omega_e \tau_e$  при малых значениях  $l/h$  и принимает квадратичную зависимость от  $\omega_e \tau_e$  при больших значениях  $l/h$ . Физически такое свойство

внутреннего сопротивления  $\Omega_b$  можно объяснить влиянием эффекта за-корачивания э. д. с. Холла идеально проводящими электродами. При уменьшении длины электродов экранирование холловской э.д.с., естественно, уменьшается (а в предельном случае точечных электродов — вообще исчезает). Поэтому для улучшения характеристик магнитогидродинамических преобразователей энергии при  $\omega_e \tau_e \neq 0$  иногда применяют секционирование электродов. Иначе обстоит дело, когда наряду с электронами спиральным пробегом обладают ионы. К увеличению  $\Omega_b$  при росте  $\omega_e \tau_e$  теперь приводит также возрастание эффективной электропроводности  $\sigma_* = \sigma / (1 + \gamma \cdot \omega_e^2 \tau_e^2)$ . При этом квадратичная зависимость внутреннего сопротивления генератора в случае  $\omega_e \tau_e \gg 1$  имеет место и тогда, когда холловская э.д.с. в канале отсутствует.

Заметим еще, что поскольку э.д.с. генератора  $\mathcal{E}$  ( $\mathcal{E} = c^{-1} s^{-1} H Q_0$ , где  $Q_0$  — расход среды в канале) линейно зависит от магнитного поля, то при увеличении  $\omega_e \tau_e$  за счет магнитного поля, когда  $\omega_i \tau_i \neq 0$ , мощность генератора  $N$ , согласно (1.30), имеет абсолютный верхний предел, который определяется отношением  $\omega_i \tau_i / \omega_e \tau_e$ .

Выше отмечалось, что определение интегральных характеристик магнитогидродинамического генератора (а это, в соответствии с (1.29)–(1.30), эквивалентно нахождению внутреннего сопротивления) в случае произвольных значений  $\omega_e \tau_e$ ,  $\omega_i \tau_i$  и  $l/h$  связано с громоздкими вычислениями несобственных (но сходящихся) интегралов (1.22) и (1.25). Однако имеется принципиальная возможность определять характеристики генератора на модели, в качестве которой может быть использована полупроводниковая пластинка, помещенная в магнитное поле. Удобно для этих целей использовать пластинку конечных размеров, например в форме круглой шайбы с электродами, к которым подключен источник электрического тока [9]. При помощи конформного отображения легко установить соответствие между геометрическими параметрами канала и круглой полупроводниковой шайбой (такое отображение дается функцией  $w = -\operatorname{tg}^{1/2} ih (1 - 4z/\pi)$ ). Тем самым устанавливается соответствие между внутренним сопротивлением генератора и общим сопротивлением пластинки. Полная идентичность сопротивлений достигается при соответствии физических констант полупроводника и проводящей среды в канале.

**§ 3. Распределение электрического тока в канале** существенно зависит от параметра Холла  $\omega_e \tau_e$  и коэффициента  $\gamma$ . При  $\gamma = 0$  и  $\omega_e \tau_e \neq 0$  («скольжение» ионов отсутствует), как известно, из-за анизотропии проводимости среды линии тока искривляются в средней зоне канала и вследствие экранирования холловской э.д.с. идеальными проводниками концентрируются в основном на концах сплошных электродов. Количественная характеристика этих явлений определяется холловским углом  $\pi_e = \arctan \operatorname{tg} \omega_e \tau_e (0 \leq \pi_e < \frac{1}{2} \pi)$ , который образуют между собой векторы напряженности электрического поля и плотности тока.

Появление ларморовского вращения ионов приводит к уменьшению холловского угла. На фиг. 4 приведены зависимости  $\pi_e$  от параметра Холла  $\omega_e \tau_e$ , построенные согласно формуле (1.17) для различных значений  $\gamma$ . Из рассмотрения кривых следует, что чем сильнее проявляется «скольжение» ионов, тем быстрее уменьшается холловский угол  $\pi_e$  с ростом параметра  $\omega_e \tau_e$ . Максимальные значения угол  $\pi_e$  принимает при выполнении условия  $\omega_e \tau_e = \gamma^{-1/2}$ . Вместе с уменьшением  $\pi_e$  исчезают анизотропия проводимости и холловская э. д. с. в канале.

Рассмотрим, как в этом случае распределяется нормальная составляющая электрического тока на электроде. Один частный случай распределения тока при  $\omega_e \tau_e \neq 0$  и  $\omega_i \tau_i \neq 0$  рассмотрен методом конечных разностей в работе [10].

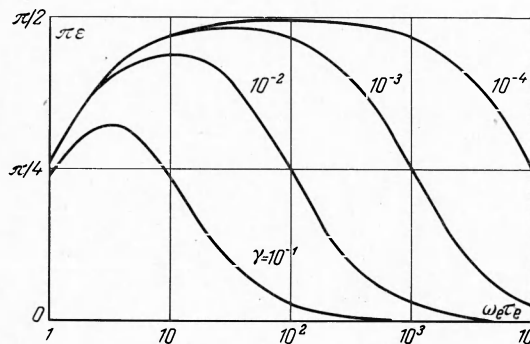
Будем считать, что  $l/h \approx 0.28$ . Тогда из (1.20) после преобразований получаем

$$j_y(x) = \frac{C_1 \sigma (1 + \gamma \omega_e^2 \tau_e^2)}{2 [(1 + \gamma \omega_e^2 \tau_e^2)^2 + \omega_e^2 \tau_e^2]} \frac{(1 + \operatorname{sh} x)^{-1/2+\varepsilon}}{(1 - \operatorname{sh} x)^{1/2+\varepsilon}} \quad (-0.88 \leq x \leq 0.88) \quad (3.1)$$

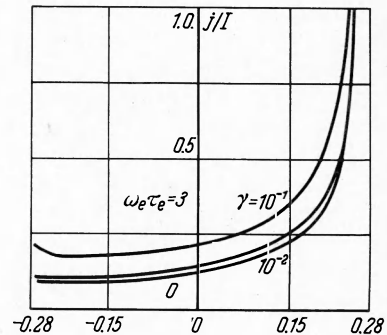
Определив постоянную из (1.24) и подставив ее в (3.1), находим

$$j_y(x) = \frac{2^{\gamma/2} I}{B(1/4[1+2\varepsilon], 1/4[1-2\varepsilon])} \frac{(1+\sinh x)^{-1/2+\varepsilon}}{(1-\sinh x)^{1/2+\varepsilon}} \quad (-0.88 \leq x \leq 0.88) \quad (3.2)$$

где  $B(p, q)$  — бета-функция;  $I$  — суммарный ток, протекающий через электрод.



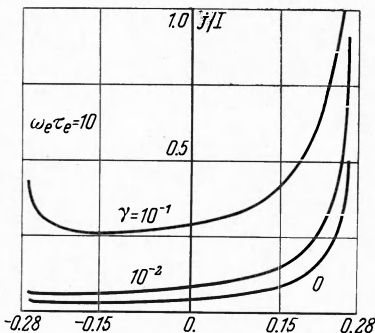
Фиг. 4



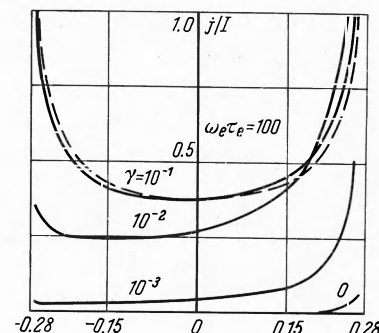
Фиг. 5

По этой формуле на фиг. 5, 6 и 7 построены кривые  $j/I$  соответственно для трех значений параметра Холла  $\omega_e \tau_e = 3, 10$  и  $100$  при различных  $\gamma$ .

По мере увеличения  $\omega_e \tau_e$  и  $\gamma$  распределение нормальной составляющей тока стремится к случаю  $\omega_e \tau_e = 0$  (пунктирная кривая на фиг. 7).



Фиг. 6



Фиг. 7

При  $\pi\varepsilon = 0$  и увеличении  $\omega_e \tau_e$  внутреннее сопротивление генератора возрастает, что следует из (1.28)

$$\Omega_b = \frac{1 + \gamma \omega_e^2 \tau_e^2}{\sigma s} \frac{2K(k)}{K(k')} \quad \begin{cases} k = \exp(-2\pi l/h) \\ k' = \sqrt{1-k^2} \end{cases} \quad (3.3)$$

Здесь, как и в (2.5),  $K(k)$  — полный эллиптический интеграл первого рода. Численный множитель 2 в (3.3) можно исключить при помощи формул перехода эллиптических интегралов

$$K(k) = \frac{2}{1+k'} K\left(\frac{1-k'}{1+k'}\right), \quad K(k) = \frac{1}{1+k} K\left(\frac{2\sqrt{k}}{1+k}\right)$$

После преобразований получаем

$$\Omega_b = \frac{1 + \gamma \omega_e^2 \tau_e^2}{\sigma s} \frac{K(k_1)}{K(k_1')} \quad \begin{cases} k_1 = \operatorname{th} \pi l/h \\ k_1' = \sqrt{1-k_1^2} \end{cases}$$

§ 4. Расчет электрического поля в многосекционном канале легко осуществить, обобщая формулы § 1.

Пусть на стенках канала расположено конечное число электродов, размеры и схема соединения которых не фиксируются. Исходные положения и постановка задачи остаются те же, что и выше. При отсутствии ларморовского вращения ионов поле в таком канале было рассчитано И. М. Толмачем и Н. Н. Ясницкой [11].

Распределение тока в канале с учетом «скольжения» ионов дается следующей формулой:

$$\begin{aligned} I(z) = i_x(x, y) - i_y(x, y) = & \frac{-(-1)^{\varepsilon} \sigma}{1 + \gamma \omega_e^2 \tau_e^2 + i \omega_e \tau_e} P \left( \exp \frac{\pi z}{h} \right) \times \\ & \times \prod_{k=1}^p \left[ \left( \exp \frac{\pi z}{h} - \exp a_k \right) \left( \exp \frac{\pi z}{h} - \exp b_k' \right) \right]^{-1/2+\varepsilon} \times \\ & \times \left[ \left( \exp \frac{\pi z}{h} - \exp b_k \right) \left( \exp \frac{\pi z}{h} - \exp a_k' \right) \right]^{-1/2-\varepsilon} \end{aligned} \quad (4.1)$$

$$P \left( \exp \frac{\pi z}{h} \right) = C_{2p-1} \exp \left( (2p-1) \frac{\pi z}{h} \right) + C_{2p-2} \exp \left( (2p-2) \frac{\pi z}{h} \right) + \dots + C_1 \exp \frac{\pi z}{h} \quad (4.2)$$

$$\varepsilon = \frac{1}{\pi} \arctg \frac{\omega_e \tau_e}{1 + \gamma \omega_e^2 \tau_e^2}, \quad 0 \leq \varepsilon < \frac{1}{2}$$

Здесь  $a_k b_k$  и  $a_k' b_k'$  ( $k=1, \dots, 2p-1$ ) — концевые точки электродов на двух стенах канала. Неизвестными в формулах (4.1), (4.2) остаются действительные постоянные  $C_k$  ( $k=1, \dots, 2p-1$ ), которыми производится конкретизация решения. Для нахождения этих постоянных необходимо учитывать схему соединения электродов с нагрузкой.

Автор благодарит А. Б. Ватажина за полезное обсуждение работы.

Поступила 9 XI 1966

#### ЛИТЕРАТУРА

1. К у л и к о в с к и й А. Г., Л ю б и м о в Г. А. Магнитная гидродинамика, Физматгиз, 1962.
2. Ч и б р и к о в а Л. И. О краевой задаче Римана для автоморфных функций, Уч. зап. Казанск. ун-та, 1956, т. 116, кн. 4, стр. 59—109.
3. Г а х о в Ф. Д. Краевые задачи. Физматгиз, 1963.
4. В а т а ж и н А. Б. Магнитогидродинамическое течение в плоском канале с конечными электродами, Изв. АН СССР, ОТН, Механика и машиностроение, 1962, № 1, стр. 52—58.
5. В а т а ж и н А. Б. Электрическое поле в магнитогидродинамических каналах при анизотропной проводимости. V Рижское совещание по магнитной гидродинамике, Рига, 1966, № 14, стр. 37—77.
6. S h u l t z-G r u n o w F., D a n z e l D. L. Calculation of the electric characteristics of an MHD generator with finite electrodes by conformal mapping under full consideration of tensor conductivity and a velocity profile. Internat. Sypos. magnetohydrodinam. generation, Paris, 1964, vol. 2.
7. В а т а ж и н А. Б. К решению некоторых задач магнитогидродинамики, ПММ, 1961, т. 25 № 5, стр. 965—968.
8. В а т а ж и н А. Б. Некоторые двумерные задачи о распределении тока в электропроводной среде, движущейся по каналу в магнитном поле, ПМТФ, 1963, № 2, стр. 39—54.
9. Б а р а н с к и й П. И., Е м е ц Ю. П. Электрическое поле в круглой полупроводниковой пластинке, помещенной в магнитное поле, ПМТФ, 1966, № 5, стр. 64—72.
10. D e n i s o n T. R., Z i e m e r R. W. Investigation of the phenomena in crossed-field plasma accelerations. Phys.-Chem. diagnostics plasmas, Northwest Univ. Press, Evanston, 1963, p. 201—232.
11. Т о л м а ч И. М., Я с н и ц к а я Н. Н. Эффект Холла в канале с секционированными электродами. Изв. АН СССР. Энергетика и транспорт, 1965, № 5, стр. 91—104.